

# Глава 3. Доказательство принципа максимума Понтрягина

1 §9. Вариации Макшейна. Множество  $\mathcal{M}$  вариаций Макшейна. Приращение траекторий. Главный член приращения. Отображение  $\phi(M) : \mathcal{M} \mapsto S^{n+1}$

1.1 Напоминание постановки задачи ОУ. Роль вариаций Макшейна в общей схеме доказательства теоремы 1

1.2 Простейшая одночленная вариация Макшейна (ПОВМ — один интервал варьирования, одна иголка)

Обозначение *простейшей одночленной вариации Макшейна*:

$$M \left( \tau; \begin{matrix} \sigma \\ v \end{matrix}; \epsilon \right). \quad (9.1)$$

Рассмотрим допустимое управление

$$u(t), \quad t_0 \leq t \leq t_1, \quad (9.2)$$

— кусочно-непрерывную функцию со значениями в области управления  $U$  с конечным числом точек разрыва первого рода  $\theta_1, \dots, \theta_N \in (t_0, t_1)$ ; напомним соглашение  $u(\theta_j - 0) = u(\theta_j), j = 1, \dots, N, \quad u(t_0 + 0) = u(t_0), u(t_1 - 0) = u(t_1)$ .

Выберем

- число  $\tau \in (t_0, t_1), \tau \neq \theta_j, j = 1, \dots, N$  (т.е.  $\tau$  — точка непрерывности управления  $u(t)$ );
- число  $\sigma \geq 0$ ;
- точку  $v \in U$ ;
- $\epsilon > 0$  — малый параметр

и определим множество моментов времени

- $J(\epsilon) = (\tau - \epsilon\sigma, \tau]$  — полуинтервал варьирования.

Длина этого полуинтервала  $\epsilon\sigma \rightarrow 0$  при  $\epsilon \rightarrow 0$ .

Построим новое управление

$$u_\epsilon^*(t) = \begin{cases} v, & t \in J(\epsilon), \\ u(t), & t \in [t_0, t_1] \setminus J(\epsilon). \end{cases} \quad (9.3)$$

Это управление допустимо.

Говорят, что управление (9.3) получено из управления (9.2) при помощи простейшей одночленной вариации Макшейна (9.1):

$$\boxed{\begin{matrix} u(t) \\ [t_0, t_1] \end{matrix}} \xrightarrow{M \begin{pmatrix} \sigma \\ \tau; v; \epsilon \end{pmatrix}} \boxed{\begin{matrix} u_\epsilon^*(t) \\ [t_0, t_1] \end{matrix}}$$

Управления (9.2), (9.3) порождают траектории  $\tilde{x}(t)$ ,  $\tilde{x}_\epsilon^*(t)$ , соответственно, выходящие в момент времени  $t = t_0$  из одной и той же начальной точки  $\tilde{x}_0$ . Выше установлено, что для приращения траектории  $\tilde{x}_\epsilon^*(t) - \tilde{x}(t)$  при малых значениях параметра  $\epsilon$  имеет место соотношение

$$\tilde{x}_\epsilon^*(t) - \tilde{x}(t) = \begin{cases} 0, & t \in [t_0, \tau - \epsilon\sigma], \quad t \text{ слева от } J(\epsilon), \\ O(\epsilon), & t \in J(\epsilon), \\ \epsilon\tilde{\xi}_\tau + o(\epsilon), & t = \tau, \\ \epsilon\tilde{\xi}(t) + o_t(\epsilon), & t \in [\tau, t_1], \quad t \text{ справа от } J(\epsilon), \end{cases} \quad (9.4)$$

в котором  $(n+1)$ -мерный вектор  $\tilde{\xi}_\tau$  определяется формулой

$$\tilde{\xi}_\tau = \sigma[\tilde{f}(\tilde{x}(\tau), v) - \tilde{f}(\tilde{x}(\tau), u(\tau))], \quad (9.5)$$

а  $(n+1)$ -мерная векторная функция  $\tilde{\xi}(t)$ ,  $\tau \leq t \leq t_1$ , является решением дифференциального уравнения в вариациях

$$\dot{\tilde{\xi}} = F(t)\tilde{\xi}, \quad \tilde{\xi}(t)|_{t=\tau} = \tilde{\xi}_\tau.$$

Здесь  $F(t) \equiv \tilde{f}'_{\tilde{x}}(\tilde{x}, u(t))|_{\tilde{x}=\tilde{x}(t)}$  — квадратная матрица порядка  $n+1$ . Функция  $\tilde{\xi}(t)$ ,  $\tau \leq t \leq t_1$ , допускает следующую запись в терминах фундаментальной матрицы уравнения в вариациях:

$$\tilde{\xi}(t) = \Phi(t, \tau)\tilde{\xi}_\tau. \quad (9.6)$$

Для дальнейшего особый интерес представляет формула для приращения траектории в конечный момент времени  $t = t_1$ :

$$\tilde{x}_\epsilon^*(t_1) - \tilde{x}(t_1) = \epsilon\phi(M) + o(\epsilon), \quad (9.7)$$

где  $\phi(M) \in S^{n+1}$  — вектор, определяемый равенством

$$\phi(M) \equiv \tilde{\xi}(t_1) = \Phi(t_1, \tau)\tilde{\xi}_\tau.$$

Таким образом, для простейших одночленных вариаций Макшейна дано конструктивное описание отображения  $\phi(\cdot) : M \mapsto \phi(M)$  формулой

$$\phi(M) = \Phi(t_1, \tau)\sigma[\tilde{f}(\tilde{x}(\tau), v) - \tilde{f}(\tilde{x}(\tau), u(\tau))]. \quad (9.8)$$

Обратим внимание на то, что вектор (9.8) не зависит от  $\epsilon$  и явным образом представлен в терминах правой части  $\tilde{f}$  уравнения управляемого движения, варьируемого процесса  $\tilde{x}(t), u(t)$  и параметров вариации Макшейна (9.1).

Совокупность всех вариаций Макшейна будем обозначать символом

$$\mathcal{M} = \{\text{ПОВМ}, \text{ОВМ}, \text{МВМ}\}. \quad (9.9)$$

Это множество состоит из простейших одночленных вариаций Макшейна (ПОВМ), которые описаны выше, оно включает в себя также одночленные вариации Макшейна (ОВМ) и многочленные вариации Макшейна (МВМ), рассмотренные в следующих подразделах. Там же будет дано конструктивное описание отображения

$$\phi : \mathcal{M} \mapsto S^{n+1}. \quad (9.10)$$

Это будет сделано последовательно в несколько этапов. Пока отображение (9.10) описано только для простейших одночленных вариаций Макшейна формулой (9.8).

**Замечание 9.1.** В формулировке теоремы 1 участвует неравенство

$$K(\tilde{x}(t), \tilde{\psi}(t), u(t)) \geq K(\tilde{x}(t), \tilde{\psi}(t), v) \quad \forall v \in U, t \in [t_0, t_1]. \quad (9)$$

Положив в этом неравенстве  $t = \tau$  и принимая во внимание вид функции Гамильтона-Понтрягина  $K(\tilde{x}, \tilde{\psi}, u) = \tilde{\psi} \tilde{f}(\tilde{x}, u)$ , перепишем его в виде

$$\tilde{\psi}(\tau)[\tilde{f}(\tilde{x}(\tau), v) - \tilde{f}(\tilde{x}(\tau), u(\tau))] \leq 0,$$

или, после умножения на число  $\sigma \geq 0$ , с учетом формулы (9.5),

$$\tilde{\psi}(\tau)\tilde{\xi}_\tau \leq 0,$$

или

$$\tilde{\psi}(\tau)\tilde{\xi}(\tau) \leq 0.$$

Последнее неравенство можно записать, в силу свойства решений линейного и ему сопряженного уравнений  $\tilde{\psi}(t)\tilde{\xi}(t) = \text{const}$ , см. §6, в виде

$$\tilde{\psi}(t_1)\tilde{\xi}(t_1) \leq 0,$$

или

$$\tilde{\psi}(t_1)\phi(M) \leq 0.$$

Таким образом, на основе техники простейших одночленных вариаций Макшейна доказательство неравенства (9) приводится к проверке последнего записанного здесь неравенства, имеющего прозрачную геометрическую интерпретацию, см. §13. Однако, при проведении доказательства теоремы 1 мы не можем ограничиться лишь простейшими одночленными вариациями Макшейна, и множество  $\mathcal{M}$  вариаций Макшейна будет подходящим образом дополнено вариациями Макшейна более сложной структуры (ОВМ, МВМ).

### 1.3 Одночленная вариация Макшейна (ОВМ — один интервал варьирования, $s$ иголок над ним)

Обозначение одночленной вариации Макшейна:

$$M\left(\tau; \begin{matrix} \sigma_1, \dots, \sigma_s \\ v_1, \dots, v_s \end{matrix}; \epsilon\right). \quad (9.11)$$

Рассмотрим допустимое управление

$$u(t), \quad t_0 \leq t \leq t_1. \quad (9.12)$$

Выберем

- число  $\tau \in (t_0, t_1)$ ,  $\tau$  — точка непрерывности управления  $u(t)$ ;
- числа  $\sigma_1, \dots, \sigma_s \geq 0$ ;
- точки  $v_1, \dots, v_s \in U$ ;
- $\epsilon > 0$  — малый параметр

и определим множество

- $J(\epsilon) = (\tau - \epsilon(\sigma_1 + \dots + \sigma_s), \tau]$  — полуинтервал варьирования.

Длина этого полуинтервала  $\epsilon(\sigma_1 + \dots + \sigma_s) \rightarrow 0$  при  $\epsilon \rightarrow 0$ . Представим полуинтервал  $J(\epsilon)$  в виде объединения  $s$  непересекающихся, примыкающих друг к другу и занумерованных слева направо полуинтервалов  $J_1(\epsilon), \dots, J_s(\epsilon)$ , с длинами  $\epsilon\sigma_1, \dots, \epsilon\sigma_s$ , соответственно:

$$J(\epsilon) = J_1(\epsilon) \cup J_2(\epsilon) \cup \dots \cup J_s(\epsilon).$$

Построим новое управление

$$u_\epsilon^*(t) = \begin{cases} v_1, & t \in J_1(\epsilon), \\ \dots \\ v_s, & t \in J_s(\epsilon), \\ u(t), & t \in [t_0, t_1] \setminus J(\epsilon). \end{cases} \quad (9.13)$$

Это управление допустимо.

Говорят, что управление (9.13) получено из управления (9.12) при помощи одночленной вариации Макшейна (9.11):

$$\boxed{\begin{matrix} u(t) \\ [t_0, t_1] \end{matrix}} \xrightarrow{M\left(\tau; \begin{matrix} \sigma_1, \dots, \sigma_s \\ v_1, \dots, v_s \end{matrix}; \epsilon\right)} \boxed{\begin{matrix} u_\epsilon^*(t) \\ [t_0, t_1] \end{matrix}}$$

При малых значениях параметра  $\epsilon$  для приращения траектории  $\tilde{x}_\epsilon^*(t)$  —  $\tilde{x}(t)$ , вызванного одночленной вариацией Макшейна (9.11), можно записать

соотношение

$$\tilde{x}_\epsilon^*(t) - \tilde{x}(t) = \begin{cases} 0, & t \in [t_0, \tau - \epsilon\sigma, \tau], \quad t \text{ слева от } J(\epsilon), \\ O(\epsilon), & t \in J(\epsilon), \\ \epsilon\tilde{\xi}_\tau + o(\epsilon), & t = \tau, \\ \epsilon\tilde{\xi}(t) + o_t(\epsilon), & t \in [\tau, t_1], \quad t \text{ справа от } J(\epsilon), \end{cases} \quad (9.14)$$

в котором, в отличие от формулы (9.4),  $(n+1)$ -мерный вектор  $\tilde{\xi}_\tau$  определяется формулой

$$\tilde{\xi}_\tau = \sum_{j=1}^s \sigma_j [\tilde{f}(\tilde{x}(\tau), v_j) - \tilde{f}(\tilde{x}(\tau), u(\tau))], \quad (9.15)$$

а векторная функция  $\tilde{\xi}(t)$  — формулой

$$\tilde{\xi}(t) = \Phi(t, \tau)\tilde{\xi}_\tau, \quad \tau \leq t \leq t_1,$$

с вектором начальных условий (9.15), так что, в конечный момент времени  $t = t_1$  имеем:

$$\tilde{\xi}(t_1) = \Phi(t_1, \tau) \sum_{j=1}^s \sigma_j [\tilde{f}(\tilde{x}(\tau), v_j) - \tilde{f}(\tilde{x}(\tau), u(\tau))]. \quad (9.16)$$

На основании (9.14) - (9.16) приращение траектории в конечный момент времени  $t = t_1$  может быть представлено в виде

$$\tilde{x}_\epsilon^*(t_1) - \tilde{x}(t_1) = \epsilon\phi(M) + o(\epsilon),$$

где  $\phi(M) \in S^{n+1}$  — вектор, определяемый равенствами

$$\phi(M) \equiv \tilde{\xi}(t_1) = \Phi(t_1, \tau)\tilde{\xi}_\tau. \quad (9.17)$$

Таким образом, теперь для одночленных вариаций Макшейна  $M$  дано конструктивное описание отображения  $\phi(\cdot) : M \mapsto \phi(M)$  формулой

$$\phi(M) = \Phi(t_1, \tau) \sum_{j=1}^s \sigma_j [\tilde{f}(\tilde{x}(\tau), v_j) - \tilde{f}(\tilde{x}(\tau), u(\tau))]. \quad (9.18)$$

Обратим внимание на то, что вектор (9.18), как и вектор (9.8), не зависит от  $\epsilon$  и явным образом представлен в терминах правой части  $\tilde{f}$  уравнения управляемого движения, варьируемого процесса  $\tilde{x}(t), u(t)$  и параметров одночленной вариации Макшейна (9.11).

**Упражнение 9.1.** *Обосновать формулу (9.15). В случае  $s = 1$  одночленная вариация Макшейна превращается в простейшую одночленную вариацию Макшейна. Вывод формулы (9.15) при  $s > 1$  происходит так же, как и в случае  $s = 1$ , т.е. при обосновании формулы (9.5).*

#### 1.4 Многочленная вариация Макшейна (МВМ — $r$ интервалов варьирования, на каждом из них свой пакет иглоок)

Обозначение многочленной вариации Макшейна:

$$M = \{M_1, \dots, M_r\}. \quad (9.19)$$

Здесь  $M_1, \dots, M_r$  — одночленные вариации Макшейна,  $r$  — число членов многочленной вариации Макшейна (9.19),  $r \geq 1$ .

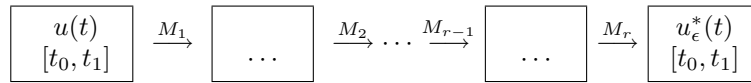
Многочленная вариация Макшейна  $\{M_1, \dots, M_r\}$  рассматривается как результат последовательного применения одночленных вариаций Макшейна  $M_1, \dots, M_r$  — членов многочленной вариации  $M$ .

Рассмотрим  $i$ -тый член

$$M_i = M_i \left( \tau_i; \begin{matrix} \sigma_{i1}, \dots, \sigma_{is_i} \\ v_{i1}, \dots, v_{is_i} \end{matrix}; \epsilon \right), \quad i = 1, \dots, r,$$

многочленной вариации (9.19). Предполагается, что параметры  $\tau_i$  — точки непрерывности управления  $u(t)$  — упорядочены неравенствами  $\tau_1 < \tau_1 < \dots < \tau_r$ .

Следующая диаграмма показывает действие многочленной вариации Макшейна (9.19):



При  $r = 1$  многочленная вариация Макшейна является одночленной вариацией Макшейна. При  $r = 2$  формула для приращения траектории принимает вид

$$\tilde{x}_\epsilon^*(t) - \tilde{x}(t) = \begin{cases} 0, & t \text{ слева от } J_{M_1}(\epsilon), \\ O(\epsilon), & t \in J_{M_1}(\epsilon), \\ \epsilon \tilde{\xi}_{\tau_1} + o(\epsilon), & t = \tau_1, \\ \epsilon \Phi(t, \tau_1) \tilde{\xi}_{\tau_1} + o_t(\epsilon), & t \text{ между } J_{M_1}(\epsilon) \text{ и } J_{M_2}(\epsilon), \\ O(\epsilon), & t \in J_{M_2}(\epsilon), \\ \epsilon [\Phi(\tau_2, \tau_1) \tilde{\xi}_{\tau_1} + \tilde{\xi}_{\tau_2}] + o(\epsilon), & t = \tau_2, \\ \epsilon \Phi(t, \tau_2) [\Phi(\tau_2, \tau_1) \tilde{\xi}_{\tau_1} + \tilde{\xi}_{\tau_2}] + o(\epsilon), & t > \tau_2, \end{cases} \quad (9.20)$$

где  $J_{M_i}(\epsilon)$  — интервал варьирования одночленной вариации Макшейна  $M_i$ ,  $i = 1, 2$ ,

$$\tilde{\xi}_{\tau_1} = \sum_{j=1}^{s_1} \sigma_{1j} [\tilde{f}(\tilde{x}(\tau_1), v_{1j}) - \tilde{f}(\tilde{x}(\tau_1), u(\tau_1))], \quad (9.21)$$

$$\tilde{\xi}_{\tau_2} = \sum_{j=1}^{s_2} \sigma_{2j} [\tilde{f}(\tilde{x}(\tau_2), v_{2j}) - \tilde{f}(\tilde{x}(\tau_2), u(\tau_2))]. \quad (9.22)$$

Для приращения траектории в конечный момент времени  $t = t_1$  на основании формулы (9.20) и свойств фундаментальной матрицы  $\Phi$  можно записать соотношение

$$\tilde{x}_\epsilon^*(t_1) - \tilde{x}(t_1) = \epsilon \phi(M) + o(\epsilon), \quad (9.23)$$

где  $\phi(M) \in S^{n+1}$  — вектор, определяемый равенством

$$\phi(M) = \Phi(t_1, \tau_1) \tilde{\xi}_{\tau_1} + \Phi(t_1, \tau_2) \tilde{\xi}_{\tau_2}, \quad (9.24)$$

а векторы  $\tilde{\xi}_{\tau_1}$ ,  $\tilde{\xi}_{\tau_2}$  имеют вид (21.21), (9.22).

Аналогично проверяется, что при любом  $r$  вектор  $\phi(M)$  в формуле (9.23) имеет вид

$$\phi(M) = \sum_{i=1}^r \Phi(t_1, \tau_i) \tilde{\xi}_{\tau_i}, \quad (9.25)$$

где

$$\tilde{\xi}_{\tau_i} = \sum_{j=1}^{s_i} \sigma_{ij} [\tilde{f}(\tilde{x}(\tau_i), v_{ij}) - \tilde{f}(\tilde{x}(\tau_i), u(\tau_i))]. \quad (9.26)$$

Отображение  $\phi$  для многочленных вариаций Макшейна описывается формулами (9.25), (9.26).

### 1.5 Отображение $\phi : \mathcal{M} \rightarrow S^{n+1}$ : сводка формул

Выше построено множество вариаций Макшейна  $\mathcal{M}$  и введено отображение  $\phi : \mathcal{M} \rightarrow S^{n+1}$ . Сделано это в несколько приемов, и сейчас мы соберем разбросанные по тексту расчетные формулы (9.8), (9.18), (9.25), (9.26), описывающие это отображение:

а. для простейших одночленных вариаций Макшейна (9.1):

$$\phi(M) = \Phi(t_1, \tau)\tilde{\xi}_\tau, \quad (9.23)$$

$$\tilde{\xi}_\tau = \sigma \left[ \tilde{f}(\tilde{x}(\tau), v) - \tilde{f}(\tilde{x}(\tau), u(\tau)) \right]; \quad (9.24)$$

б. для одночленных вариаций Макшейна (9.11):

$$\phi(M) = \Phi(t_1, \tau)\tilde{\xi}_\tau, \quad (9.25)$$

$$\tilde{\xi}_\tau = \sum_{j=1}^s \sigma_j \left[ \tilde{f}(\tilde{x}(\tau), v_j) - \tilde{f}(\tilde{x}(\tau), u(\tau)) \right]; \quad (9.26)$$

в. для многочленных вариаций Макшейна (9.19):

$$\phi(M) = \sum_{i=1}^r \Phi(t_1, \tau_i)\tilde{\xi}_{\tau_i}, \quad (9.27)$$

$$\tilde{\xi}_{\tau_i} = \sum_{j=1}^{s_i} \sigma_{ij} [\tilde{f}(\tilde{x}(\tau_i), v_{ij}) - \tilde{f}(\tilde{x}(\tau_i), u(\tau_i))]. \quad (9.28)$$

## 1.6 Конус, порождаемый отображением $\phi(M)$

Приращение траектории в конечный момент времени  $t = t_1$  представлено в виде:

$$\tilde{x}_\epsilon^*(t_1) - \tilde{x}(t_1) = \epsilon\phi(M) + o(\epsilon), \quad (9.29)$$

Главный член правой части (9.29) имеет вид

$$\epsilon\phi(M). \quad (9.30)$$

Введем следующие два множества  $\mathbb{K}_0, \mathbb{K}_1 \subset S^{n+1}$ :

$$\mathbb{K}_0 = \bigcup_{M \in \mathcal{M}} \{\phi(M)\} \equiv \phi(\mathcal{M}), \quad (9.31)$$

$$\mathbb{K}_1 = \tilde{x}(t_1) + \mathbb{K}_0. \quad (9.32)$$

Эти множества играют важную роль при доказательстве принципа максимума. Будет показано, что множество (9.31) является выпуклым конусом с вершиной в точке 0. Множество (9.32), полученное из множества (9.31) параллельным переносом, является выпуклым конусом с вершиной в точке  $\tilde{x}(t_1)$ . Для получения этих фактов в следующем параграфе будут введены операции над вариациями Макшейна и установлено свойство линейности отображения  $\phi(M)$  при неотрицательных коэффициентах.

Так как

$$\phi(M) = \lim_{\epsilon \rightarrow +0} \frac{\tilde{x}_\epsilon^*(t_1) - \tilde{x}(t_1)}{\epsilon},$$

то множество (9.32) в линейном приближении характеризует направления смещения правых концов траектории при ее варьировании с помощью вариаций Макшейна  $M \in \mathcal{M}$ .



## 2 §10. Сложение вариаций Макшейна. Умножение вариаций Макшейна на неотрицательные числа. Линейность отображения $\phi(M)$ при неотрицательных коэффициентах. Выпуклость конуса, порожденного отображением $\phi(M)$

### 2.1 Краткое введение, основные цели §10

Конечная цель данного параграфа — установить, что множество (9.31)

$$K_0 = \bigcup_{M \in \mathcal{M}} \{\phi(M)\}$$

является выпуклым конусом с вершиной в нуле. Для получения этого результата в пространстве вариаций Макшейна  $\mathcal{M}$  вводятся операции *сложения* и *умножения на неотрицательные числа*, так что для отображения  $\phi$  выполняются свойства:

$$\phi(M + M') = \phi(M) + \phi(M') \quad \forall M, M' \in \mathcal{M} \quad (10.1)$$

(аддитивность) и

$$\phi(\lambda \cdot M) = \lambda \cdot \phi(M) \quad \forall \lambda \geq 0, M \in \mathcal{M} \quad (10.2)$$

(положительная однородность измерения 1). Из свойств (10.1), (10.2) следует *свойство линейности отображения  $\phi$  при неотрицательных коэффициентах*:

$$\phi(\lambda_1 M_1 + \lambda_2 M_2) = \lambda_1 \phi(M_1) + \lambda_2 \phi(M_2) \quad \forall \lambda_1, \lambda_2 \geq 0, M_1, M_2 \in \mathcal{M}. \quad (10.3)$$

### 2.2 Сложение вариаций Макшейна

#### 2.2.1 Сложение простейших одночленных вариаций Макшейна

Рассмотрим две простейшие одночленные вариации Макшейна

$$M = M \left( \tau; \frac{\sigma}{v}; \epsilon \right), \quad (10.4)$$

$$M' = M' \left( \tau'; \frac{\sigma'}{v'}; \epsilon \right). \quad (10.5)$$

**Замечание 10.1.** При одновременном рассмотрении нескольких вариаций Макшейна малый положительный параметр  $\epsilon$  всегда общий.

При определении операции сложения вариаций (10.4) и (10.5) рассматривается два случая: а)  $\tau = \tau'$  и б)  $\tau \neq \tau'$ .

а)  $\tau = \tau'$ . Определяем сумму двух ПОВМ (10.4) и (10.5), полагая

$$M \left( \tau; \begin{matrix} \sigma \\ v \end{matrix}; \epsilon \right) + M' \left( \tau; \begin{matrix} \sigma' \\ v' \end{matrix}; \epsilon \right) = M \left( \tau; \begin{matrix} \sigma & \sigma' \\ v & v' \end{matrix}; \epsilon \right). \quad (10.6)$$

В правой части формулы (10.6) стоит ОВМ с двумя иголками — элемент множества  $\mathcal{M}$ . Для введенной формулой (10.6) операции сложения двух одночленных вариаций Макшейна имеет место свойство аддитивности (10.1). Действительно,

$$\begin{aligned} \phi(M + M') &= \{(10.6)\} = \phi \left( M \left( \tau; \begin{matrix} \sigma & \sigma' \\ v & v' \end{matrix}; \epsilon \right) \right) = \{(9.25), (9.26)\} = \\ &= \Phi(t_1, \tau) \{ \sigma [\tilde{f}(\tilde{x}(\tau), v) - \tilde{f}(\tilde{x}(\tau), u(\tau))] + \sigma' [\tilde{f}(\tilde{x}(\tau), v') - \tilde{f}(\tilde{x}(\tau), u(\tau))] \} = \\ &= \Phi(t_1, \tau) \sigma [\tilde{f}(\tilde{x}(\tau), v) - \tilde{f}(\tilde{x}(\tau), u(\tau))] + \Phi(t_1, \tau) \sigma' [\tilde{f}(\tilde{x}(\tau), v') - \tilde{f}(\tilde{x}(\tau), u(\tau))] = \\ &= \{(9.23), (9.24)\} = \phi(M) + \phi(M'). \end{aligned}$$

б)  $\tau \neq \tau'$  (пусть, для определенности,  $\tau < \tau'$ ). Определяем сумму двух ПОВМ (10.4) и (10.5), полагая

$$M + M' = \{M, M'\}. \quad (10.7)$$

В правой части формулы (10.7) стоит МВМ с двумя членами  $M$  и  $M'$  — элемент множества  $\mathcal{M}$ . Для введенной формулой (10.7) операции сложения двух одночленных вариаций Макшейна имеет место свойство аддитивности (10.1). Действительно,

$$\begin{aligned} \phi(M + M') &= \{(10.7)\} = \phi(\{M, M'\}) = \{(9.27), (9.28)\} = \\ &= \Phi(t_1, \tau) \tilde{\xi}_\tau + \Phi(t_1, \tau') \tilde{\xi}_{\tau'} = \{(9.23), (9.24)\} = \phi(M) + \phi(M'). \end{aligned}$$

В дальнейшем проведение подобных выкладок предоставляется читателю.

## 2.2.2 Сложение одночленных вариаций Макшейна

Рассмотрим две одночленные вариации Макшейна

$$M = M \left( \tau; \begin{matrix} \sigma_1 & \cdots & \sigma_s \\ v_1 & \cdots & v_s \end{matrix}; \epsilon \right), \quad (10.8)$$

$$M' = M' \left( \tau'; \begin{matrix} \sigma'_1 & \cdots & \sigma'_{s'} \\ v'_1 & \cdots & v'_{s'} \end{matrix}; \epsilon \right). \quad (10.9)$$

При определении операции сложения вариаций (10.8) и (10.9) опять рассматривается два случая: а)  $\tau = \tau'$  и б)  $\tau \neq \tau'$ .

а)  $\tau = \tau'$ . Определяем сумму двух ОВМ (10.8) и (10.9), полагая

$$M + M' = M \left( \tau; \begin{matrix} \sigma_1 & \cdots & \sigma_s & \sigma'_1 & \cdots & \sigma'_{s'} \\ v_1 & \cdots & v_s & v'_1 & \cdots & v'_{s'} \end{matrix}; \epsilon \right). \quad (10.10)$$

В правой части формулы (10.10) стоит ОВМ — элемент множества  $\mathcal{M}$ .

**Упражнение 10.1.** Проверить, что для введенной формулой (10.10) операции сложения ОВМ имеет место свойство аддитивности (10.1).

б)  $\tau \neq \tau'$  (пусть, для определенности,  $\tau < \tau'$ ). Определяем сумму двух ОВМ (10.8) и (10.9), полагая

$$M + M' = \{M, M'\}. \quad (10.11)$$

В правой части формулы (10.11) стоит МВМ с двумя членами  $M$  и  $M'$  — элемент множества  $\mathcal{M}$ .

**Упражнение 10.2.** Проверить, что для введенной формулой (10.11) операции сложения двух одночленных вариаций Макшейна имеет место свойство аддитивности (10.1).

**Замечание 10.2.** Согласно данным выше определениям многочленная вариация Макшейна

$$M = \{M_1, \dots, M_r\} \quad (10.12)$$

с  $r$  членами  $M_1, \dots, M_r$ , каждый из которых — одночленная вариация Макшейна, является суммой своих членов:

$$M = M_1 + \dots + M_r. \quad (10.13)$$

Параметры  $\tau_i$  одночленных вариаций Макшейна  $M_i, i = 1, \dots, r$ , удовлетворяют неравенствам  $\tau_1 < \tau_2 < \dots < \tau_r$ .

**Замечание 10.3.** Напомним, что все параметры  $\sigma \geq 0$ . Добавление в сумму (10.13) одночленной вариации Макшейна с нулевыми параметрами  $\sigma$  не меняет эту вариацию, и ее образ при отображении  $\phi$  при этом также не меняется.

### 2.2.3 Сложение многочленных вариаций Макшейна

Рассмотрим две многочленные вариации Макшейна: вариацию (10.12) и вариацию

$$M' = \{M'_1, \dots, M'_{r'}\}. \quad (10.14)$$

В силу Замечаний 10.2, 10.3 можно считать, что  $r' = r$ , одночленные вариации Макшейна  $M_i, M'_i$  имеют общий параметр  $\tau_i = \tau'_i$  и вариация (10.14) допускает представление в виде суммы

$$M' = M'_1 + \dots + M'_r. \quad (10.15)$$

Сумму двух многочленных вариаций Макшейна (10.12) и (10.14), записанных в виде (10.13) и (10.15), определяем формулой

$$M + M' = \sum_{i=1}^r (M_i + M'_i) = \{(M_1 + M'_1), \dots, (M_r + M'_r)\} \quad (10.16)$$

как сумму попарных сумм  $(M_i + M'_i)$ , где  $M_i, M'_i$  — одночленные вариации Макшейна с общим параметром  $\tau_i = \tau'_i$ , которые мы уже умеем складывать,

так что  $(M_i + M'_i)$  — одночленная вариация Макшейна. В силу Замечания 10.2 сумму (10.16) можно записать в форме *многочленной вариации Макшейна*:

$$M + M' = \{(M_1 + M'_1), \dots, (M_r + M'_r)\} \quad (10.17)$$

с членами  $(M_1 + M'_1), \dots, (M_r + M'_r)$ . В правой части формулы (10.17) стоит МВМ — элемент множества  $\mathcal{M}$ .

**Упражнение 10.3.** Проверить, что для введенной формулами (10.16), (10.17) операции сложения двух многочленных вариаций Макшейна имеет место свойство аддитивности (10.1).

Итак, на множестве  $\mathcal{M}$  введена операция сложения и для отображения  $\phi$  установлено свойство аддитивности (10.1).

## 2.3 Умножение вариаций Макшейна на неотрицательные числа

Введем на множестве  $\mathcal{M}$  операцию умножения на неотрицательные числа и проверим выполнение для нее свойства однородности (10.2) отображения  $\phi$ .

### 2.3.1 Умножение простейших одночленных вариаций Макшейна на неотрицательные числа

Рассмотрим простейшую одночленную вариацию Макшейна

$$M \left( \tau; \frac{\sigma}{v}; \epsilon \right).$$

Определим для нее операцию умножения на неотрицательное число  $\lambda$  следующей формулой:

$$\lambda \cdot M \left( \tau; \frac{\sigma}{v}; \epsilon \right) = M \left( \tau; \frac{\lambda\sigma}{v}; \epsilon \right). \quad (10.18)$$

**Упражнение 10.4.** Проверить, что для введенной формулой (10.18) операции умножения простейшей одночленной вариаций Макшейна на неотрицательное число имеет место свойство однородности (10.2).

### 2.3.2 Умножение одночленных вариаций Макшейна на неотрицательные числа

Рассмотрим одночленную вариацию Макшейна

$$M \left( \tau; \begin{array}{ccc} \sigma_1 & \cdots & \sigma_s \\ v_1 & \cdots & v_s \end{array}; \epsilon \right).$$

Определим для нее операцию умножения на неотрицательное число  $\lambda$  следующей формулой:

$$\lambda \cdot M \left( \tau; \begin{array}{ccc} \sigma_1 & \cdots & \sigma_s \\ v_1 & \cdots & v_s \end{array}; \epsilon \right) = M \left( \tau; \begin{array}{ccc} \lambda\sigma_1 & \cdots & \lambda\sigma_s \\ v_1 & \cdots & v_s \end{array}; \epsilon \right). \quad (10.19)$$

**Упражнение 10.5.** Проверить, что для введенной формулой (10.19) операции умножения одночленной вариаций Макшейна на неотрицательное число имеет место свойство однородности (10.2).

### 2.3.3 Умножение многочленных вариаций Макшейна на неотрицательные числа

Рассмотрим многочленную вариацию Макшейна

$$M = \{M_1, \dots, M_r\},$$

члены которой  $M_1, \dots, M_r$  — одночленные вариации Макшейна. *Определим для нее операцию умножения на неотрицательное число  $\lambda$  следующей формулой:*

$$\lambda \cdot \{M_1, \dots, M_r\} = \{\lambda M_1, \dots, \lambda M_r\}. \quad (10.20)$$

**Упражнение 10.6.** Проверить, что для введенной формулой (10.20) операции умножения многочленной вариации Макшейна на неотрицательное число имеет место свойство однородности (10.2).

Итак, на множестве  $\mathcal{M}$  введена операция умножения на неотрицательные числа и для отображения  $\phi$  установлено свойство однородности (10.2).

Таким образом, теперь можно считать обоснованным свойство (10.3) линейности отображения  $\phi$  при неотрицательных коэффициентах.

## 2.4 Конус, порождаемый отображением $\phi(M)$ : основные свойства

В §9 введено множество

$$\mathbb{K}_0 = \bigcup_{M \in \mathcal{M}} \{\phi(M)\} \equiv \phi(\mathcal{M}), \quad (10.21)$$

порождаемое отображением

$$\phi(\cdot) : \mathcal{M} \mapsto S^{n+1}. \quad (10.22)$$

Покажем сейчас, опираясь на свойства (10.1) - (10.3) отображения (10.22), что множество (10.21) является выпуклым конусом с вершиной в нуле.

*Докажем сначала, что множество  $\mathbb{K}_0$  — конус с вершиной в нуле.* Для этого проверим, что для любой точки  $c \in \mathbb{K}_0$  имеет место включение  $\lambda c \in \mathbb{K}_0 \forall \lambda \geq 0$ . Условие  $c \in \mathbb{K}_0$  означает, что  $\exists M \in \mathcal{M} : c = \phi(M)$ . Отсюда, привлекая свойство однородности (10.2), имеем:  $\lambda c = \lambda \phi(M) = \phi(\lambda M) \in \mathbb{K}_0$ , так как  $\lambda M \in \mathcal{M}$ . Проверка окончена.

*Докажем теперь выпуклость множества  $\mathbb{K}_0$ .* Возьмем любые две точки  $c_1, c_2 \in \mathbb{K}_0$ . Согласно определению (10.21) их можно записать в виде  $c_i = \phi(M_i)$ , где  $M_i \in \mathcal{M}, i = 1, 2$ . Отсюда в силу свойства линейности (10.3) при любых  $\lambda_1, \lambda_2 \geq 0, \lambda_1 + \lambda_2 = 1$ , имеем:

$$\lambda_1 c_1 + \lambda_2 c_2 = \lambda_1 \phi(M_1) + \lambda_2 \phi(M_2) = \phi(\lambda_1 M_1 + \lambda_2 M_2) \in \mathbb{K}_0,$$

так как  $\lambda_1 M_1 + \lambda_2 M_2 \in \mathcal{M}$ . Выпуклость множества  $\mathcal{K}_0$  доказана.

Множество

$$\mathcal{K}_1 = \tilde{x}(t_1) + \mathcal{K}_0$$

очевидно, является выпуклым конусом с вершиной в конечной точке  $\tilde{x}(t_1)$  рассматриваемой траектории.

### 3 §11. Расширение класса допустимых вариаций Макшейна

#### 3.1 Введение расширенной вариации Макшейна.

Определим сейчас расширенную вариацию Макшейна

$$V(M, \alpha), \tag{11.1}$$

где  $M$  — вариация Макшейна,  $\alpha$  — действительное число. Мы знаем, что операция  $M$  — вариация Макшейна — преобразует по описанным выше правилам допустимое управление  $u(t), t_0 \leq t \leq t_1$ , в проварьированное управление  $u_\epsilon^*(t), t_0 \leq t \leq t_1$ :

$$\boxed{\begin{array}{c} u(t) \\ [t_0, t_1] \end{array}} \xrightarrow{M} \boxed{\begin{array}{c} u_\epsilon^*(t) \\ [t_0, t_1] \end{array}}$$

Обратим внимание на то, что оба управления — исходное и проварьированное — определены на одном и том же отрезке времени  $[t_0, t_1]$ . Применение расширенной вариации Макшейна (11.1) изменяет правый конец этого отрезка:

$$t_1 \longrightarrow t_{1\epsilon}^* \equiv t_1 + \epsilon\alpha. \tag{11.2}$$

Перейдем теперь к определению расширенной вариации Макшейна (11.1), рассмотрев отдельно три случая:  $\alpha = 0$ ,  $\alpha < 0$  и  $\alpha > 0$ .

**1:**  $\alpha = 0$ . В этом случае полагаем:

$$V(M, \alpha)|_{\alpha=0} = M,$$

т.е. при  $\alpha = 0$  расширенная вариация Макшейна  $V(M, \alpha)$  действует точно также, как и вариация Макшейна  $M$ .

**2:**  $\alpha < 0$ . В этом случае проварьированный отрезок времени  $[t_0, t_{1\epsilon}^*]$  является частью исходного отрезка  $[t_0, t_1]$ ,  $t_{1\epsilon}^* < t_1$ . Напомним, что  $\epsilon$  — малый положительный параметр.

**2а.** Применяя вариацию Макшейна  $M$  к управлению  $u(t)$ , построим проварьированное управление  $\bar{u}(t)_\epsilon^*$ ,  $t_0 \leq t \leq t_1$ :

$$\boxed{\begin{array}{c} u(t) \\ [t_0, t_1] \end{array}} \xrightarrow{M} \boxed{\begin{array}{c} \bar{u}_\epsilon^*(t) \\ [t_0, t_1] \end{array}}$$

**2b.** Полагаем

$$u_\epsilon^*(t) = \bar{u}_\epsilon^*(t), \quad t_0 \leq t \leq t_{1\epsilon}^*.$$

Будем говорить, что функция  $u_\epsilon^*(t), t_0 \leq t \leq t_{1\epsilon}^*$ , получена из функции  $u(t), t_0 \leq t \leq t_1$ , при помощи расширенной вариации Макшейна (11.1):

$$\boxed{\begin{array}{c} u(t) \\ [t_0, t_1] \end{array}} \xrightarrow{V(M, \alpha)} \boxed{\begin{array}{c} u_\epsilon^*(t) \\ [t_0, t_{1\epsilon}^*] \end{array}}$$

**3:**  $\alpha > 0$ . В этом случае исходный отрезок  $[t_0, t_1]$  является частью проварьированного отрезка  $[t_0, t_{1\epsilon}^*], t_1 < t_{1\epsilon}^*$ .

**3a.** Применяя вариацию Макшейна  $M$  к управлению  $u(t)$ , построим проварьированное управление  $\bar{u}(t)_\epsilon^*, t_0 \leq t \leq t_1$ , так же, как это было сделано в **2a**.

**3b.** Полагаем

$$u_\epsilon^*(t) = \begin{cases} \bar{u}_\epsilon^*(t), & t_0 \leq t \leq t_{1\epsilon}^*, \\ u(t_1), & t_1 \leq t \leq t_{1\epsilon}^*. \end{cases} \quad (11.3)$$

Будем говорить, что функция (11.3) получена из допустимого управления  $u(t), t_0 \leq t \leq t_1$ , при помощи расширенной вариации Макшейна (11.1).

Подчеркнем, что варьирование допустимого управления  $u(t), t_0 \leq t \leq t_1$ , при помощи расширенной вариации Макшейна (11.1) приводит к допустимому управлению  $u_\epsilon^*(t), t_0 \leq t \leq t_{1\epsilon}^*$ . Функция (11.3) непрерывна в окрестности точки  $t = t_1$ . Итак, расширенная вариация Макшейна

$$V(M, \alpha), \quad \text{где } M \in \mathcal{M}, \alpha \in R^1,$$

построена. Совокупность всех расширенных вариаций Макшейна будем обозначать  $\mathcal{VM}$ . Очевидно, что  $\mathcal{M} \subset \mathcal{VM}$ .

### 3.2 Определение отображения $\phi$ для расширенных вариаций Макшейна

Пусть  $u(t), t_0 \leq t \leq t_1$ , — допустимое управление, которому отвечает траектория  $\tilde{x}(t), t_0 \leq t \leq t_1$ ;  $u_\epsilon^*(t), t_0 \leq t \leq t_{1\epsilon}^*$ , — проварьированное с помощью расширенной вариации Макшейна (11.1) управление, которому отвечает проварьированная траектория  $\tilde{x}_\epsilon^*(t)$ . При вычислении последней траектории управление можно взять в форме (11.3) при любом знаке числа  $\alpha$ , так что траекторию  $\tilde{x}_\epsilon^*(t)$  можно считать определенной в некоторой окрестности точки  $t_1$ . При этом, очевидно, в силу непрерывности функции (11.3) в окрестности точки  $t = t_1$ , имеет место соотношение

$$\tilde{x}_\epsilon^*(t_{1\epsilon}^*) - \tilde{x}_\epsilon^*(t_1) = \epsilon \alpha \tilde{f}(\tilde{x}_\epsilon^*(t_1), u(t_1)) + o(\epsilon). \quad (11.4)$$

Ранее было установлено соотношение

$$\tilde{x}_\epsilon^*(t_1) - \tilde{x}(t_1) = \epsilon \cdot \phi(M) + o(\epsilon). \quad (11.5)$$

После почленного сложения соотношений (11.4), (11.5) и очевидного преобразования правой части с помощью (11.5) получаем

$$\tilde{x}_\epsilon^*(t_{1\epsilon}^*) - \tilde{x}(t_1) = \epsilon \cdot [\phi(M) + \alpha \tilde{f}(\tilde{x}(t_1), u(t_1))] + o(\epsilon). \quad (11.6)$$

Последняя формула описывает в явном виде главный член приращения траектории, полученной при варьировании управления с помощью расширенной вариации Макшейна (11.1). Вводя обозначение

$$\phi(V(M, \alpha)) = \phi(M) + \alpha \tilde{f}(\tilde{x}(t_1), u(t_1)), \quad (11.7)$$

перепишем формулу (11.6) в более компактном виде

$$\tilde{x}_\epsilon^*(t_{1\epsilon}^*) - \tilde{x}(t_1) = \epsilon \cdot \phi(V(M, \alpha)) + o(\epsilon). \quad (11.8)$$

Формула (11.7) определяет отображение  $\phi : \mathcal{VM} \mapsto S^{n+1}$  для расширенных вариаций Макшейна.

### 3.3 Сложение расширенных вариаций Макшейна. Умножение их на неотрицательные числа. Линейность отображения $\phi$ при неотрицательных коэффициентах

**Сложение.** Для двух расширенных вариаций Макшейна  $V(M_1, \alpha_1), V(M_2, \alpha_2) \in \mathcal{VM}$  их сумма определяется равенством

$$V(M_1, \alpha_1) + V(M_2, \alpha_2) = V(M_1 + M_2, \alpha_1 + \alpha_2), \quad (11.9)$$

в правой части которого стоит расширенная вариация Макшейна — элемент множества  $\mathcal{VM}$ . Из формул (11.9), (11.7) следует свойство аддитивности отображения  $\phi : \mathcal{VM} \mapsto S^{n+1}$  при сложении расширенных вариаций Макшейна:

$$\phi(V(M_1, \alpha_1) + V(M_2, \alpha_2)) = \phi(V(M_1, \alpha_1)) + \phi(V(M_2, \alpha_2)). \quad (11.10)$$

**Умножение на неотрицательные числа.** Умножение расширенной вариации Макшейна  $V(M, \alpha) \in \mathcal{VM}$  на число  $\lambda \geq 0$  определяется равенством

$$\lambda \cdot V(M, \alpha) = V(\lambda \cdot M, \lambda \cdot \alpha), \quad (11.11)$$

в правой части которого стоит расширенная вариация Макшейна — элемент множества  $\mathcal{VM}$ . Из формул (11.11), (11.7) следует свойство положительной однородности (измерения 1) для отображения  $\phi : \mathcal{VM} \mapsto S^{n+1}$ :

$$\phi(\lambda \cdot V(M, \alpha)) = \lambda \cdot \phi(V(M, \alpha)), \quad \lambda \geq 0. \quad (11.12)$$

Соотношения (11.10), (11.12) влекут свойство линейности отображения  $\phi$  при неотрицательных коэффициентах  $\lambda_1, \lambda_2 \geq 0$ :

$$\phi(\lambda_1 \cdot V(M_1, \alpha_1) + \lambda_2 \cdot V(M_2, \alpha_2)) = \lambda_1 \cdot \phi(V(M_1, \alpha_1)) + \lambda_2 \cdot \phi(V(M_2, \alpha_2)). \quad (11.13)$$

В дальнейшем знак умножения (точка  $\cdot$ ), как правило, опускается.



### 3.4 Конусы $\mathcal{C}_0, \mathcal{C}_1$ , порождаемые отображением $\phi$

Введем в рассмотрение множества  $\mathcal{C}_0, \mathcal{C}_1 \subset S^{n+1}$ , полагая

$$\mathcal{C}_0 = \bigcup_{V(M,\alpha) \in \mathcal{VM}} \{\phi(V(M,\alpha))\} \equiv \bigcup_{M \in \mathcal{M}, \alpha \in R^1} \{\phi(V(M,\alpha))\} \equiv \phi(\mathcal{VM}), \quad (11.14)$$

$$\mathcal{C}_1 = \tilde{x}(t_1) + \mathcal{C}_0. \quad (11.15)$$

Опираясь на свойство (11.13) отображения  $\phi$ , легко проверить, что множество (11.14) есть выпуклый конус с вершиной 0, а множество (11.15), полученное из множества (11.14) параллельным переносом, есть выпуклый конус с вершиной  $\tilde{x}(t_1)$ , см. §10. Построенные конусы, порождаемые отображением  $\phi$ , лежат в основе доказательства принципа максимума. Конус (11.14) является алгебраической суммой выпуклого конуса  $\mathcal{K}_0$  и прямой  $L = \{\tilde{z} : \tilde{z} = \alpha \tilde{f}(\tilde{x}(t_1), u(t_1)), \alpha \in R^1\}$ .

## 4 §12. Условие, при котором управление $u(t)$ неоптимально. Основная лемма и ее следствие.

**Основная лемма.** *Если луч  $l$  проходит по внутренности конуса  $\mathcal{C} \equiv \phi(\mathcal{VM})$ , то управление  $u(t)$  неоптимально в рассматриваемой задаче оптимального управления.*

Сформулируем сразу же **Следствие из основной леммы**. Именно оно позволит нам завершить доказательство Теоремы 1.

**Следствие из основной леммы.** Если управление  $u(t)$  оптимально, то луч  $l$  не проходит по внутренности конуса  $\mathcal{C}$ .

**Замечание 12.1.** Далее для оптимального управления  $u(t)$  луч  $l$  и конус  $\mathcal{C}$  в силу теоремы о разделении луча и конуса разделяются гиперплоскостью, проходящей через вершину конуса, и вывод принципа максимума Понтрягина завершается в несколько строк (см. параграф 13).

А сейчас обратимся к доказательству **основной леммы**.

**Доказательство основной леммы.** Пусть

$$u(t), \quad t_0 \leq t \leq t_1, \quad (12.1)$$

— допустимое управление,

$$\tilde{x}(t), \quad t_0 \leq t \leq t_1, \quad (12.2)$$

— соответствующая этому управлению траектория, правый конец которой удовлетворяет условию

$$\tilde{x}(t_1) \in \Pi. \quad (12.3)$$

Введем новую систему координат, выполнив параллельный перенос осей координат и поместив начало новой системы координат в правый конец

$\tilde{x}(t_1)$  траектории (12.2); оси новой системы координат будем обозначать буквами  $y^0, y^1, \dots, y^n$ . Луч  $l$  в новой системе координат совпадает с отрицательной полуосью  $y^0$ , а прямая  $\Pi$  — с осью  $y^0$ . Будем записывать:

$$\tilde{y} = \begin{pmatrix} y^0 \\ y \end{pmatrix} \in Y^{n+1} \equiv R^{n+1}, \quad y^0 \in R^1, y = \begin{pmatrix} y^1 \\ \dots \\ y^n \end{pmatrix} \in Y^n \equiv R^n.$$

Доказательство основной леммы разобьем на пять этапов **А, Б, В, Г, Д.**

**А. Идея доказательства.** Для доказательства **основной леммы** будет показано, что существует допустимое управление, лучшее, чем исходное управление (12.1). Более детально: найдется допустимое управление

$$u_\epsilon^*(t), \quad t_0 \leq t \leq t_1^*, \quad (12.4)$$

и отвечающая ему траектория

$$\tilde{x}_\epsilon^*(t), \quad t_0 \leq t \leq t_1^*, \quad (12.5)$$

удовлетворяющая условию

$$\tilde{x}_\epsilon^*(t_1^*) \in \Pi, \quad (12.6)$$

такие, что

$$L(u_\epsilon^*) \equiv x_\epsilon^{0*}(t_1^*) < x^0(t_1) \equiv L(u). \quad (12.7)$$

Здесь  $x_\epsilon^{0*}(t_1^*)$  — нулевая координата правого конца  $\tilde{x}_\epsilon^*(t_1^*)$  построенной траектории (12.5),  $x^0(t_1)$  — нулевая координата правого конца исходной траектории (12.2). Построение "лучшего" управления (12.4) будет выполнено с помощью специально подобранной *расширенной вариации Максвелла*. Описание этого процесса излагается ниже в предположении **Основной леммы** о том, что луч  $l$  (или отрицательная полуось  $y^0$ ) проходит по внутренности конуса  $\mathcal{C}$ .

**Выбор симплекса  $T^n$ .** Возьмем в  $Y^n$  набор из  $n + 1$  точек

$$a_0, a_1, \dots, a_n \in Y^n \quad (12.8)$$

так, чтобы

$$c = \frac{a_0 + a_1 + \dots + a_n}{n + 1} = 0_{Y^n}, \quad (12.9)$$

и система векторов

$$a_1 - a_0, a_2 - a_0, \dots, a_n - a_0 \quad (12.10)$$

была линейно независимой. По точкам (12.8) построим  $n$ -мерный симплекс  $T^n \subset Y^n$  с вершинами  $a_0, a_1, \dots, a_n$ . Центр симплекса  $T^n$ , по построению, расположен в нуле. Далее векторы (12.8) меняться не будут.

**В. Оператор проектирования  $\pi : Y^{n+1} \mapsto Y^n$ .** Введем оператор  $\pi : Y^{n+1} \mapsto Y^n$  проектирования параллельно оси  $y^0$ . Определим этот оператор соотношением:

$$\tilde{y} = \begin{pmatrix} y^0 \\ y \end{pmatrix} \xrightarrow{\pi} y, \quad (12.11)$$

$$\tilde{y} \in Y^{n+1}, y^0 \in R^1, y \in Y^n.$$

**Лемма 12.1** (образы луча и конуса при отображении  $\pi$ ).

$$\pi(l) = 0 \in Y^n, \quad (12.12)$$

$$\pi(\mathcal{C}) = Y^n. \quad (12.13)$$

Формула (12.12) говорит о том, что каждая точка луча  $l$  проектируется в точку  $0 \in Y^n$ . Формула (12.13) содержит утверждение о том, что конус проектируется оператором  $\pi$  на все пространство  $Y^n$  в предположении **Основной леммы**. Другими словами, при отображении  $\pi$  образ луча  $l$  состоит из одной точки  $0 \in Y^n$ , а образом конуса  $\mathcal{C}$  является все пространство  $Y^n$ .

**Г. Построение симплекса  $\tilde{T}^n$ .** Построим теперь  $n$ -мерный симплекс  $\tilde{T}^n \subset Y^{n+1}$ . Грубо говоря, симплекс  $\tilde{T}^n$  получается из симплекса  $T^n$  параллельным переносом на некоторое расстояние  $h$  "вниз" вдоль оси  $y^0$ . Ниже следует формальное определение симплекса  $\tilde{T}^n$ .

Привлекая вершины (12.8) симплекса  $T^n$ , введем набор  $(n+1)$ -мерных точек

$$\tilde{b}_i = \begin{pmatrix} -h \\ a_i \end{pmatrix} \in Y^{n+1}, \quad i = 0, 1, \dots, n, \quad (12.14)$$

с одинаковой нулевой координатой, равной  $-h$ , где  $h > 0$  — параметр. Линейная независимость векторов (12.10) влечет линейную независимость векторов

$$\tilde{b}_1 - \tilde{b}_0, \tilde{b}_2 - \tilde{b}_0, \dots, \tilde{b}_n - \tilde{b}_0.$$

Поэтому по точкам (12.14) можно построить  $n$ -мерный симплекс  $\tilde{T}^n \subset Y^{n+1}$  с вершинами  $\tilde{b}_0, \tilde{b}_1, \dots, \tilde{b}_n$ . Этот симплекс допускает следующие формальные описания:

$$\tilde{T}^n = \left\{ \tilde{y} = \begin{pmatrix} y^0 \\ y \end{pmatrix} \in Y^{n+1} : \begin{matrix} y^0 = -h \\ y \in T^n \end{matrix} \right\}$$

и

$$\tilde{T}^n = \left\{ \tilde{y} = \begin{pmatrix} y^0 \\ y \end{pmatrix} \in Y^{n+1} : \tilde{y} = \sum_{i=0}^n \lambda^i \tilde{b}_i, \sum_{i=0}^n \lambda^i = 1, \lambda^i \geq 0, i = 0, 1, \dots, n \right\}.$$

Здесь  $\lambda^0, \lambda^1, \dots, \lambda^n$  — барицентрические координаты точки  $\tilde{y} \in \tilde{T}^n$ .

**Замечание 12.2.** В силу (12.13) существует такое число  $h > 0$ , что

$$\tilde{b}_i \in \text{int } \mathcal{C}, \quad i = 0, 1, \dots, n,$$

$$\tilde{T}^n \subset \text{int } \mathcal{C}.$$

Параметр  $h > 0$  выберем так, чтобы выполнялись эти включения; в дальнейшем этот параметр фиксирован.

**Замечание 12.3.** Имеет место равенство

$$\pi(\tilde{T}^n) = T^n.$$

**Замечание 12.4.** Любую точку  $\tilde{b} \in \tilde{T}^n$  можно представить в виде

$$\tilde{b} = \begin{pmatrix} -h \\ a \end{pmatrix},$$

где  $a \in T^n$ . Точку  $a$ , как точку симплекса  $T^n$ , запишем в виде

$$a = \sum_{i=0}^n \lambda^i(a) a_i, \quad \sum_{i=0}^n \lambda^i(a) = 1, \quad \lambda^i(a) \geq 0, \quad i = 0, 1, \dots, n,$$

где  $\lambda^i(a)$  — барицентрические координаты точки  $a$ , непрерывно зависящие от точки  $a \in T^n$ . Отсюда следует, что точку  $\tilde{b} \in \tilde{T}^n$  можно записать в форме

$$\tilde{b} = \tilde{b}(a) = \sum_{i=0}^n \lambda^i(a) \tilde{b}_i,$$

т.е. точки  $\tilde{b}$  симплекса  $\tilde{T}^n$  запараметризованы естественным образом точками  $a$  симплекса  $T^n$  так, что

$$\pi(\tilde{b}(a)) = a.$$

**Замечание 12.5.** Каждая из вершин  $\tilde{b}_i$  симплекса  $\tilde{T}^n$  принадлежит (см. Замечание 12.2) конусу

$$\mathcal{C} \equiv \bigcup_{M \in \mathcal{M}, \alpha \in R^1} \{\phi(V(M, \alpha))\}.$$

поэтому для каждого  $i = 0, 1, \dots, n$ , найдутся вариация Макшейна  $M_i \in \mathcal{M}$  и число  $\alpha_i \in R^1$  такие, что

$$\tilde{b}_i = \phi(V(M_i, \alpha_i)), \quad i = 0, 1, \dots, n.$$

Напомним, что символом  $\mathcal{M}$  обозначается совокупность всех вариаций Макшейна (ПОВМ, ОБМ, МВМ).

**Лемма 12.2 (о представлении точек  $\tilde{b}(a) \in \tilde{T}^n$ ).** Точки  $\tilde{b}(a) \in \tilde{T}^n$  допускают представление

$$\tilde{b}(a) = \phi(V(M(a), \alpha(a))), \quad a \in T^n,$$

где в расширенной вариации Макшейна  $V(M(a), \alpha(a))$  аргументами служат:  
 $M(a)$  — вариация Макшейна и  
 $\alpha(a)$  — действительное число,  
зависящие от точки  $a \in T^n$ , причем

$$M(a) = \sum_{i=0}^n \lambda_i(a) M_i,$$

$$\alpha(a) = \sum_{i=0}^n \lambda_i(a) \alpha_i.$$

Здесь  $\lambda_i(a)$  — барицентрические координаты точки  $a \in T^n$ ,  $M_i$ ,  $\alpha_i$ ,  $i = 0, 1, \dots, n$ , — вариации Макшейна и действительные числа, соответственно, введенные в Замечании 12.5.

**Доказательство леммы 12.2.** Имеем:

$$\begin{aligned} \tilde{b}(a) &= \{\text{Замечание 12.4}\} = \sum_{i=0}^n \lambda^i(a) \tilde{b}_i = \{\text{Замечание 12.5}\} = \\ &= \sum_{i=0}^n \lambda^i(a) \phi(V(M_i, \alpha_i)) = \{\text{Линейность отображения } \phi\} = \\ &= \phi \left( \sum_{i=0}^n \lambda^i(a) V(M_i, \alpha_i) \right) = \\ &= \phi \left( V \left( \sum_{i=0}^n \lambda^i(a) M_i, \sum_{i=0}^n \lambda^i(a) \alpha_i \right) \right) = \\ &= \phi(V(M(a), \alpha(a))). \end{aligned}$$

Здесь мы воспользовались свойствами расширенных вариаций Макшейна и отображения  $\phi$ . Лемма 12.2 доказана.

**Д. Заключительная часть.** Обратимся к реализации плана, намеченного в пункте **А**. Докажем следующее утверждение.

**Лемма 12.3.** *Существует расширенная вариация Макшейна  $V(M, \alpha)$ , переводящая управление (12.1) в управление (12.4) такая, что при достаточно малых  $\epsilon > 0$  траектория (12.5) удовлетворяет условиям (12.6), (12.7).*

**Доказательство Леммы 12.3.** Условие (12.6)

$$\tilde{x}_\epsilon^*(t_1^*) \in \Pi$$

равносильно условию

$$\pi [\tilde{x}_\epsilon^*(t_1^*) - \tilde{x}(t_1)] = 0 \in Y^n. \quad (12.15)$$

Ранее установлено, что при малых  $\epsilon$  имеет место соотношение

$$\tilde{x}_\epsilon^*(t_1^*) - \tilde{x}(t_1) = \epsilon \phi(V(M, \alpha)) + o(\epsilon). \quad (12.16)$$

Применяя оператор проектирования  $\pi$  к (12.16) и разделив обе части полученного равенства на  $\epsilon > 0$ , получаем:

$$\frac{\pi[\tilde{x}_\epsilon^*(t_1^*) - \tilde{x}(t_1)]}{\epsilon} = \pi(\phi(V(M, \alpha))) + \frac{o(\epsilon)}{\epsilon}. \quad (12.17)$$

В силу (12.17) условие (12.15) равносильно следующему:

$$0_{Y^n} = \pi(\phi(V(M, \alpha))) + o_\epsilon(1). \quad (12.18)$$

Здесь

$$o_\epsilon(1) = \frac{o(\epsilon)}{\epsilon} \rightarrow 0 \text{ при } \epsilon \rightarrow 0.$$

Таким образом, доказательство Леммы 12.3 сводится к проверке разрешимости уравнения (12.18) относительно вариации Макшейна  $M$  и действительного числа  $\alpha$  при достаточно малых  $\epsilon > 0$ . Будем искать решение уравнение (12.18) в следующем виде:

$$M = M(a), \quad \alpha = \alpha(a), \quad a \in T^n. \quad (12.19)$$

Подстановка (12.19) в (12.18) приводит к уравнению

$$\pi(\phi(V(M(a), \alpha(a)))) + o_\epsilon(1) = 0_{Y^n} \quad (12.20)$$

относительно  $a \in T^n$ ; в этом уравнении остаточный член зависит от  $a$  и от  $\epsilon > 0$ . В силу Леммы 12.2 и Замечания 12.4  $\pi(\phi(V(M(a), \alpha(a)))) = \pi(\tilde{b}(a)) = a$ , поэтому уравнение (12.20) принимает вид

$$\varphi_\epsilon(a) \equiv a + o(1) = 0, \quad \varphi_\epsilon(a)|_{\epsilon=0} = a. \quad (12.21)$$

В силу **Утверждения о малых деформациях симплекса** уравнение (12.21) разрешимо при достаточно малых  $\epsilon$ : существует такое  $\epsilon_0 > 0$ , что уравнение (12.21) при любом  $\epsilon \in (0, \epsilon_0]$  имеет решение  $a_\epsilon \in T^n$ . Это решение определяет вариацию Макшейна  $M(a_\epsilon)$  и действительное число  $\alpha(a_\epsilon)$  такие, что расширенная вариация Макшейна  $V(M(a_\epsilon), \alpha(a_\epsilon))$  порождает управление (12.4) и отвечающую ему траекторию (12.5) со свойством (12.6), (12.7) при малых  $\epsilon$ . Действительно, запишем векторное соотношение (12.16) для нулевых координат:

$$x_\epsilon^{0*}(t_1^*) - x^0(t_1) = -\epsilon h + o(\epsilon). \quad (12.22)$$

Здесь фиксированное число  $h > 0$  не зависит от  $\epsilon > 0$ , поэтому при малых  $\epsilon$  знак правой части (12.22) определяется знаком главного члена. Так как этот главный член отрицателен, то при достаточно малых  $\epsilon > 0$  справедливо неравенство

$$L(u_\epsilon^*) \equiv x_\epsilon^{0*}(t_1^*) < x^0(t_1) \equiv L(u).$$

Таким образом, требуемое неравенство (12.7) установлено, Лемма 12.3 доказана, и тем самым доказательство **Основной леммы** закончено.

## 5 §13. Вывод условия максимума

Напомним, что в **теореме 1** о необходимых условиях оптимальности утверждается, что из оптимальности пары  $\tilde{x}(t), u(t), t_0 \leq t \leq t_1$ , вытекает существование сопряженной переменной  $\tilde{\psi}(t), t_0 \leq t \leq t_1$ , такой, что удовлетворяются дифференциальные уравнения: (7) — уравнение управляемого движения, (8) — сопряженное уравнение и условие максимума

$$K(\tilde{x}(t), \tilde{\psi}(t), u(t)) \geq K(\tilde{x}(t), \tilde{\psi}(t), v) \quad \forall v \in U, t \in [t_0, t_1], \quad (9)$$

где  $K(\tilde{x}, \tilde{\psi}, u) = \tilde{\psi} \tilde{f}(\tilde{x}, u)$  — функция Гамильтона-Понтрягина.

Из оптимальности управления  $u(t), t_0 \leq t \leq t_1$ , в силу **Следствия из основной леммы** вытекает, что луч  $l$  не проходит по внутренности конуса  $\mathcal{C}$ . Поэтому луч и конус разделяются проходящей через вершину конуса гиперплоскостью  $\Gamma_{\tilde{n}}$  с ненулевым вектором нормали  $\tilde{n} \in Y^{n+1}$ :

$$l \subset \Pi_{\tilde{n}}^+, \quad (13.1)$$

$$\mathcal{C} \subset \Pi_{\tilde{n}}^-. \quad (13.2)$$

Далее мы покажем, что вектор нормали  $\tilde{n}$  разделяющей гиперплоскости служит граничным значением искомой сопряженной переменной:

$$\tilde{\psi}(t)|_{t=t_1} = \tilde{n}. \quad (13.3)$$

Геометрическое условие (13.1) равносильно условию

$$(\tilde{n}, \tilde{y}) \geq 0 \quad \forall \tilde{y} \in l, \quad (13.4)$$

а геометрическое условие (13.2) — условию

$$(\tilde{n}, c) \leq 0 \quad \forall c \in \mathcal{C}. \quad (13.5)$$

Если точка  $\tilde{y}$  с координатами  $y^0, y^1, \dots, y^n$  принадлежит лучу  $l$ , то  $y^0 \leq 0, y^1 = 0, \dots, y^n = 0$ , и условие (13.4) принимает вид

$$\psi_0 \cdot y^0 \geq 0 \quad \forall y^0 \leq 0.$$

Полагая в нем  $y^0 = -1$ , получаем:  $\psi_0 \cdot (-1) \geq 0$ , откуда следует неравенство  $\psi_0 \leq 0$ , где  $\psi_0$  — нулевая координата вектора  $\tilde{n} = \tilde{\psi}(t_1)$ . Таким образом, Дополнение 1 к теореме 1 доказано полностью (раньше мы отмечали свойство постоянства нулевой координаты сопряженной переменной:  $\dot{\psi}_0(t) = 0, \psi_0(t) \equiv const$ ; теперь установлена ее неположительность.)

Перепишем неравенство (13.5) в виде

$$\tilde{n}c \leq 0 \quad \forall c \in \mathcal{C} \equiv \bigcup_{M, \alpha} \{\phi(V(M, \alpha))\}$$

или

$$\tilde{n}\phi(V(M, \alpha)) \leq 0 \quad \forall M \in \mathcal{M}, \alpha \in R^1.$$

Полагая здесь  $\alpha = 0$ , и принимая во внимание, что расширенная вариация Макшейна  $V(M, \alpha)$  при  $\alpha = 0$  совпадает с вариацией Макшейна  $M$ , получаем:

$$\tilde{n}\phi(M) \leq 0 \quad \forall M \in \mathcal{M}. \quad (13.6)$$

Выберем в качестве вариации Макшейна  $M$  простейшую одночленную вариацию Макшейна

$$M(t; \sigma \quad v; \epsilon). \quad (13.7)$$

Здесь  $t$  — точка непрерывности управления  $u(t)$ ,  $\sigma$  — неотрицательное число,  $v$  — любая точка из области управления  $U$ ,  $\epsilon > 0$  — малый параметр. Напомним формулу для вычисления отображения  $\phi$  в случае простейшей одночленной вариации Макшейна (13.7):

$$\phi(M) = \Phi(t_1, t) \sigma [\tilde{f}(\tilde{x}(t), v) - \tilde{f}(\tilde{x}(t), u(t))]. \quad (13.8)$$

В силу (13.8) неравенство (13.7) принимает вид

$$\tilde{n}\Phi(t_1, t) \sigma [\tilde{f}(\tilde{x}(t), v) - \tilde{f}(\tilde{x}(t), u(t))] \leq 0.$$

В последнем неравенстве  $(n+1)$ -мерная строка

$$\tilde{n}\Phi(t_1, t) = \tilde{\psi}(t_1)\Phi(t_1, t) \equiv \tilde{\psi}(t) \quad (13.9)$$

является сопряженной переменной, удовлетворяющей сопряженному уравнению (8) и начальному условию  $\tilde{\psi}(t_1) = \tilde{n} \neq 0$ . Полагая в этом неравенстве  $\sigma = 1$ , имеем:

$$\tilde{\psi}(t)\tilde{f}(\tilde{x}(t), v) \leq \tilde{\psi}(t)\tilde{f}(\tilde{x}(t), u(t)) \quad \forall v \in U, t \in [t_0, t_1],$$

или, в терминах функции Гамильтона-Понтрягина,

$$K(\tilde{x}(t), \tilde{\psi}(t), u(t)) \geq K(\tilde{x}(t), \tilde{\psi}(t), v) \quad \forall v \in U, t \in [t_0, t_1]. \quad (9)$$

Условие максимума (9) доказано.

Неравенство (9), доказанное для точек непрерывности управления  $u(t)$ , предельным переходом проверяется для всех остальных точек отрезка  $[t_0, t_1]$ . Действительно, пусть  $\tau \in (t_0, t_1)$  — точка разрыва кусочно-непрерывного управления  $u(t)$ . По принятому соглашению  $u(\tau-0) = u(\tau)$ , причем найдется число  $\delta > 0$  такое, что при  $t \in (\tau - \delta, \tau]$  управление  $u(t)$  непрерывно. Считая  $t \in (\tau - \delta, \tau)$  и выполняя предельный переход в неравенстве (9) при  $t \rightarrow \tau-0$ , убеждаемся в справедливости неравенства (9) в точке  $\tau$ .

**Теорема 1** доказана вместе с **Дополнением 1**. **Дополнение 2 к теореме 1** доказывается ниже.

## 6 §14. Обоснование Дополнения 2 к теореме 1

Напомним формулировку этого дополнения.

**Дополнение 2 к теореме 1** ( $t_1$  — свободно):

$$\mathcal{K}(t) \equiv K(\tilde{x}(t), \tilde{\psi}(t), u(t)) = 0 \quad \forall t \in [t_0, t_1]. \quad (14.1)$$

Функция  $\mathcal{K}(t)$ , очевидно, непрерывна на любом интервале непрерывности управления  $u(t)$ . Для доказательства (14.1) достаточно установить следующие три утверждения:

Ⓐ  $\mathcal{K}(t_1) = 0$



Ⓒ Функция  $\mathcal{K}(t)$  сохраняет постоянное значение на любом интервале непрерывности управления  $u(t)$

Ⓓ Функция  $\mathcal{K}(t)$  непрерывна в любой точке  $\tau$  разрыва управления  $u(t)$ :

$$\mathcal{K}(\tau - 0) = \mathcal{K}(\tau) = \mathcal{K}(\tau + 0) \quad (14.2)$$

**Доказательство** утверждения Ⓓ. Установленное выше включение (13.2)  $\mathcal{C} \subset \Pi_{\tilde{n}}^-$  равносильно условию

$$\tilde{n}c \leq 0 \quad \forall c \in \mathcal{C} \equiv \bigcup_{M, \alpha} \{\phi(V(M, \alpha))\}, \quad (14.3)$$

где  $\tilde{n} = \tilde{\psi}(t_1)$ . Так как

$$\phi(V(M, \alpha)) = \phi(M) + \alpha \tilde{f}(\tilde{x}(t_1), u(t_1)),$$

то условие (14.3) можно записать в виде

$$\tilde{\psi}(t_1)\phi(V(M, \alpha)) \leq 0 \quad \forall M \in \mathcal{M}, \alpha \in R^1. \quad (14.4)$$

Возьмем в (14.4) вариацию Макшейна  $M$  с нулевыми параметрами  $\sigma$ ; тогда  $\phi(M) = 0$ , и условие (14.4) принимает вид

$$\tilde{\psi}(t_1)\alpha \tilde{f}(\tilde{x}(t_1), u(t_1)) \leq 0 \quad \forall \alpha \in R^1,$$

или

$$\alpha \cdot \mathcal{K}(t_1) \leq 0 \quad \forall \alpha \in R^1. \quad (14.5)$$

Положив в (14.5) сначала  $\alpha = 1$ , а затем  $\alpha = -1$ , получаем:

$$\mathcal{K}(t_1) \leq 0, \quad \mathcal{K}(t_1) \geq 0,$$

что влечет равенство

$$\mathcal{K}(t_1) = 0.$$

Утверждение Ⓓ доказано.

**Доказательство** утверждения Ⓒ. Пусть управление  $u(t)$  непрерывно на полуинтервале  $(t_2, t_3] \subset (t_0, t_1)$ . Докажем, что

$$\dot{\mathcal{K}}(t) = 0, \quad t \in (t_2, t_3], \quad (14.6)$$

откуда следует постоянство функции  $\mathcal{K}(t)$  на этом множестве. Для этого возьмем две различные точки  $\tau_0, \tau_1$  на полуинтервале  $(t_2, t_3]$  и покажем, что разделение разность функции  $\mathcal{K}$  удовлетворяет условию

$$\frac{\mathcal{K}(\tau_1) - \mathcal{K}(\tau_0)}{\tau_1 - \tau_0} \rightarrow 0 \quad \text{при} \quad \tau_1 - \tau_0 \rightarrow 0. \quad (\star)$$

При этом

$$\dot{\mathcal{K}}(\tau_0) = 0 \quad \forall \tau_0 \in (t_2, t_3],$$

что влечет постоянство функции  $\mathcal{K}$ .

Обратимся сейчас к доказательству соотношения  $(\star)$ . Привлекая условие (9), запишем следующие неравенства:

$$\mathcal{K}(\tau_1) \equiv K(\tilde{x}(\tau_1), \tilde{\psi}(\tau_1), u(\tau_1)) \geq K(\tilde{x}(\tau_1), \tilde{\psi}(\tau_1), u(\tau_0)), \quad (14.7)$$

$$\mathcal{K}(\tau_0) \equiv K(\tilde{x}(\tau_0), \tilde{\psi}(\tau_0), u(\tau_0)) \geq K(\tilde{x}(\tau_0), \tilde{\psi}(\tau_0), u(\tau_1)). \quad (14.8)$$

Умножив неравенство (14.8) на  $-1$ , перепишем его в виде

$$-\mathcal{K}(\tau_0) \leq -K(\tilde{x}(\tau_0), \tilde{\psi}(\tau_0), u(\tau_1)). \quad (14.9)$$

Эти неравенства используем для оценки приращения функции  $\mathcal{K}$ . Привлекая неравенства (14.7), (14.9), оцениваем это приращение сначала сверху:

$$\mathcal{K}(\tau_1) - \mathcal{K}(\tau_0) \leq K(\tilde{x}(\tau_1), \tilde{\psi}(\tau_1), u(\tau_1)) - K(\tilde{x}(\tau_0), \tilde{\psi}(\tau_0), u(\tau_1)), \quad (14.10)$$

а затем снизу:

$$\mathcal{K}(\tau_1) - \mathcal{K}(\tau_0) \geq K(\tilde{x}(\tau_1), \tilde{\psi}(\tau_1), u(\tau_0)) - K(\tilde{x}(\tau_0), \tilde{\psi}(\tau_0), u(\tau_0)). \quad (14.11)$$

Введем в рассмотрение вспомогательную функцию

$$g(t, \tau) = K(\tilde{x}(t), \tilde{\psi}(t), u(\tau)) \equiv \tilde{\psi}(t) \tilde{f}(\tilde{x}(t), u(\tau)). \quad (14.12)$$

Для приращения функции  $\mathcal{K}$  теперь в силу (14.10) - (14.12) можно записать следующее двойное неравенство:

$$g(\tau_1, \tau_0) - g(\tau_0, \tau_0) \leq \mathcal{K}(\tau_1) - \mathcal{K}(\tau_0) \leq g(\tau_1, \tau_1) - g(\tau_0, \tau_1). \quad (14.13)$$

В левой и правой частях последнего неравенства стоят приращения функции (14.12) по первому аргументу. Для оценки этих приращений вычислим частную производную функции  $g$  по первому аргументу. Имеем:

$$\begin{aligned} \frac{\partial}{\partial t} g(t, \tau) &= \frac{\partial}{\partial t} [\tilde{\psi}(t) \tilde{f}(\tilde{x}(t), u(\tau))] = \\ &= \dot{\tilde{\psi}}(t) \tilde{f}(\tilde{x}(t), u(\tau)) + \tilde{\psi}(t) \tilde{f}'_{\tilde{x}}(\tilde{x}(t), u(\tau)) \dot{\tilde{x}}(t) = \\ &= -\tilde{\psi}(t) \tilde{f}'_{\tilde{x}}(\tilde{x}(t), u(t)) \tilde{f}(\tilde{x}(t), u(\tau)) + \tilde{\psi}(t) \tilde{f}'_{\tilde{x}}(\tilde{x}(t), u(\tau)) \tilde{f}(\tilde{x}(t), u(t)), \end{aligned} \quad (14.15)$$

так как

$$\dot{\tilde{x}}(t) = \tilde{f}(\tilde{x}(t), u(t)), \quad \dot{\tilde{\psi}}(t) = -\tilde{\psi}(t) \tilde{f}'_{\tilde{x}}(\tilde{x}(t), u(t)).$$

Частная производная  $g'_t(t, \tau)$  непрерывна по первому аргументу, причем из формулы (14.15) следует

$$g'_t(t, \tau)|_{t=\tau} = 0. \quad (14.16)$$

Применение формулы конечных приращений и равенства (14.16) дает:

$$g(\tau_1, \tau_1) - g(\tau_0, \tau_1) = g'_t(\xi, \tau_1)(\tau_1 - \tau_0) = o(|\tau_1 - \tau_0|). \quad (14.17)$$

Здесь  $\xi$  — некоторая промежуточная точка, лежащая между точками  $\tau_0$  и  $\tau_1$ . Аналогичным образом получаем соотношение

$$g(\tau_1, \tau_1) - g(\tau_0, \tau_1) = o(|\tau_1 - \tau_0|). \quad (14.18)$$

Двойное неравенство (14.13) вместе с соотношениями (14.17), (14.18) приводит к обоснованию  $(\star)$ . Утверждение  $\textcircled{C}$  доказано.

**Доказательство** утверждения  $\textcircled{B}$ . Пусть  $\tau$  — точка разрыва управления  $u(t)$ :

$$u(\tau - 0) = u(\tau), \quad u(\tau) \neq u(\tau + 0). \quad (14.19)$$

Докажем непрерывность функции  $\mathcal{K}(t)$  в точке  $t = \tau$ , проверив равенства (14.2):

$$\mathcal{K}(\tau - 0) = \mathcal{K}(\tau) = \mathcal{K}(\tau + 0) \quad (14.2)$$

В силу (14.19) имеем:  $\mathcal{K}(\tau - 0) = \mathcal{K}(\tau)$ . Таким образом, остается установить равенство

$$\mathcal{K}(\tau) = \mathcal{K}(\tau + 0). \quad (14.20)$$

Привлекая условие максимума (9), имеем:

$$\mathcal{K}(\tau) \equiv K(\tilde{x}(\tau), \tilde{\psi}(\tau), u(\tau)) \geq K(\tilde{x}(\tau), \tilde{\psi}(\tau), u(\tau + 0)) \equiv \mathcal{K}(\tau + 0),$$

т.е. доказано неравенство

$$\mathcal{K}(\tau) \geq \mathcal{K}(\tau + 0). \quad (14.21)$$

С другой стороны, выбрав точку  $\tau' > \tau$  и используя условие максимума (9), запишем неравенство

$$\mathcal{K}(\tau') \equiv K(\tilde{x}(\tau'), \tilde{\psi}(\tau'), u(\tau')) \geq K(\tilde{x}(\tau'), \tilde{\psi}(\tau'), u(\tau)),$$

и предельный переход в нем при  $\tau' \rightarrow \tau + 0$  дает:

$$\mathcal{K}(\tau + 0) \geq \mathcal{K}(\tau). \quad (14.22)$$

Сравнение неравенств (14.21) и (14.22) доказывает равенство (14.20). Непрерывность функции  $\mathcal{K}(t)$  установлена. Утверждение  $\textcircled{B}$  доказано.

Обоснование **Дополнения 2** к теореме 1 закончено.